

秸秆还田对灌溉玉米田土壤反硝化及 N₂O 排放的影响

王改玲^{1,2,3}, 郝明德¹, 陈德立³

(1 中国科学院水利部水土保持研究所, 陕西杨陵 712100; 2 山西农业大学资源与环境学院,
山西太谷 030801; 3 墨尔本大学粮食与土地资源学院, 澳大利亚 PV 3010)

摘要: 运用乙炔抑制技术研究了不同施氮水平下秸秆还田对灌溉玉米田土壤反硝化反应和氧化亚氮(N₂O)排放的影响。结果表明, 土壤反硝化速率及 N₂O 的排放受氮肥施用、秸秆处理方式及其交互作用的显著影响。与秸秆燃烧相比, 不施氮或低施氮水平时, 秸秆还田可刺激培养初期反硝化反应速率及 N₂O 排放, 增加培养期间 N₂O 平均排放通量; 高施氮水平时, 秸秆还田可降低反硝化反应速率及反硝化过程中的 N₂O 排放。秸秆还田可降低反硝化中 N₂O/N₂ 的比例。

关键词: 秸秆还田; 氮肥施用; 反硝化; N₂O 排放; 玉米

中图分类号:S141.4 文献标识码:A 文章编号:1008-505X(2006)06-0840-05

Effect of stubble incorporation and nitrogen fertilization on denitrification and nitrous oxide emission in an irrigated maize soil

WANG Gai-ling^{1, 2, 3}, HAO Ming-de¹, CHEN De-li³

(1 Institute of Soil and Water Conservation, Chinese Academy of Science and Ministry of Water Resources.

Yangling 712100, China; 2 College of Resource and Environment, Shanxi Agricultural University, Taigu 030801, China;

3 Faculty of Land and Food Resources, the University of Melbourne, Victoria 3031, Australia.)

Abstract: Acetylene inhibition method was used to study effects of stubble incorporation and nitrogen fertilization on denitrification and N₂O emission in an irrigated maize soil. Stubble management was designed as stubble incorporation and stubble burn. Nitrogen fertilizer was applied with 5 rates: 0, 100, 200, 300, 400 kg/ha. Samples were taken after experiment has been set 4 years. Fresh soils were incubated at 85% WFPS (water filled pore space) with 1 kPa or no C₂H₂ for 8 d, and N₂O emission was measured during incubation. Results from variance analysis indicated that N fertilization rate, stubble incorporation and their interaction had profound effect on denitrification rate and N₂O flux. Compared with stubble burn, stubble incorporation stimulated denitrification and N₂O emission at the beginning of incubation under no and low fertilization rate, which result mean N₂O flux of incubation period was increased. However, the denitrification rate and N₂O emission of stubble incorporation were higher than that of stubble burn under high fertilization rate. Ratio of N₂O/N₂ from denitrification was decreased by stubble incorporation.

Key words: stubble incorporation; N fertilization; denitrification; N₂O emission; maize

土壤反硝化是土壤氮素转化的重要过程, 也是引起氮素损失和 N₂O 排放的主要途径。秸秆还田

有利于保持土壤肥力、改善土壤物理性状、减少土壤侵蚀, 是我国和国外提倡的保护性耕作措施之

—^[1-2]。秸秆还田对土壤反硝化和N₂O排放的影响国内外已有较多报道。已有研究结果表明,秸秆施用影响旱地土壤反硝化作用^[3];秸秆还田影响稻田土壤N₂O排放,且与水分类型有关^[4]。氮肥施用作为一种重要的耕作措施,在粮食生产中占举足轻重的作用,同时也是影响土壤反硝化和有机物质矿化的重要因素^[5]。那么秸秆还田对反硝化及N₂O排放的影响是否和氮肥施用有关?为此运用乙炔抑制技术,研究不同施氮水平下秸秆还田对N₂O排放及反硝化的影响,为合理地进行秸秆还田提供依据。

1 材料与方法

1.1 试验设计

2000至2004年试验在澳大利亚新维尔士Griffith的灌溉玉米地上进行。试验区的土壤为Pellouxerert soil,其基础理化性状为:有机C 11.2 mg/kg, pH 6.1, NH₄⁺-N 12.4 mg/kg, NO₃⁻-N 23.0 mg/kg,粘粒含量53.2%。试验设秸秆还田(在上茬玉米收获后,将该区秸秆粉碎、填埋于20 cm左右)和燃烧(在上茬玉米收获后直接将秸秆就地燃烧)两种秸秆处理方式;施氮量设N 0、100、200、300、400 kg/hm² 5个水平(分别用N 0、N100、N200、N300、N400表示),完全组合成10个处理,3次重复。试验所用氮肥为尿素。每年秸秆处理和氮肥管理方法相同。

2004年玉米播种前采集土壤样品。采样后将新鲜土样(含水量11.2%~15.4%)过2 mm筛,分别测定各个土样的含水量,储于冷藏室中备用。

1.2 试验方法

称取60 g土样(以烘干计),装入容积120 mL、内径4.3 cm的小塑料瓶中,使其体积为60 mL,加水调节土壤水分含量至85% WFPS(土壤孔隙水含量,即充水孔隙体积占总孔隙的百分率),然后放入容积1000 mL的培养罐中,用带橡皮塞(以抽取气体样品)的盖子密封。每个土样6份,其中一半充入干净乙炔气体使培养罐中乙炔的体积为10%,一半未充乙炔。所有土样30℃培养,分别在培养后的0.5、1、2、4、6、8 d后采集气体样品。每次采样后,揭开瓶盖,用压缩空气冲洗培养罐,密封。乙炔处理中重新注入乙炔。培养结束,土壤样品立即用2 mol/L KCl提取。

N₂O用气相色谱(HP 6890)测定。检测器为电子捕获检测器(ECD),分离柱为Porapak Q填充物分离柱;载气为高纯度的N₂,流速20 mL/min。分离柱工作温度75℃,检测器工作温度350℃。NH₄⁺-N用

水杨酸钠一比色法测定;NO₃⁻-N用镉还原柱一比色法测定。

2 结果与分析

2.1 土壤N₂O排放动态

各处理土壤N₂O的排放规律相似,培养初期排放速度最大,之后急剧下降,到2~4 d排放速度很低,甚至接近于0。以N 0, 200, 400 kg/hm², 即:N 0、N200、N400处理的N₂O排放通量分别代表无N、低N、高N施肥水平土壤N₂O的排放通量,可以看出(图1)无N和低N施肥水平下,培养后的短暂停时间内秸秆还田的N₂O排放通量大于秸秆燃烧的。N200处理时,培养后的0.5 d,还田处理N₂O排放通量为408.0 μg/(kg·d),燃烧处理为205.5 μg/(kg·d),之后两种处理趋于一致。培养期间,平均每千克土壤排放的N₂O秸秆还田为314.2 μg/kg,秸秆燃烧的为192.9 μg/kg。这与Murray^[6]的试验结果类似,可能与秸秆还田增加土壤供碳量有关。相反,N400处理,培养后的大部分时间燃烧处理都明显高于还田处理;结束培养时,还田处理和燃烧处理排放的量分别为390.2和710.2 μg/kg,说明高N施肥水平下秸秆还田抑制N₂O排放。

2.2 反硝化作用的动态变化

10%的乙炔可抑制土壤硝化作用和反硝化作用中N₂O→N₂的还原过程^[7],因此土壤充入乙炔后所测得的N₂O排放速率代表反硝化反应速率。本试验结果(图2)表明,各处理均为开始培养时反硝化速率较低,随后出现排放高峰,中期急剧下降,培养结束时缓慢下降至最低。但与无N和低N施肥水平相比,高N时排放高峰有所推迟。无N和低N时,最大排放速率出现在培养后的第1 d,高N时则出现在培养后的第2 d。

不同秸秆处理方式间,无N和低N施肥水平时,培养后的0.5~1 d秸秆还田处理的反硝化速率大于秸秆燃烧的,之后则小于或与燃烧处理接近。高施肥量时,除培养后的0.5 d秸秆还田的反硝化速率略高于秸秆燃烧外,其它培养期间秸秆还田的明显低于燃烧的。最大反硝化速率秸秆还田为2400 μg/(kg·d),秸秆燃烧为9100 μg/(kg·d);培养期间秸秆还田的反硝化氮素总损失量为10.9 mg/kg,秸秆燃烧为28.3 mg/kg。

2.3 反硝化中的N₂O/N₂比值

土壤N₂O来源于土壤氮的硝化和反硝化作用。

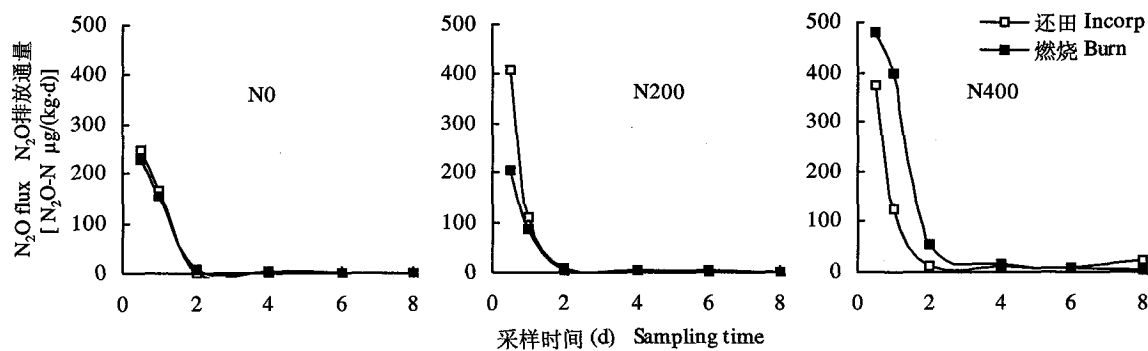
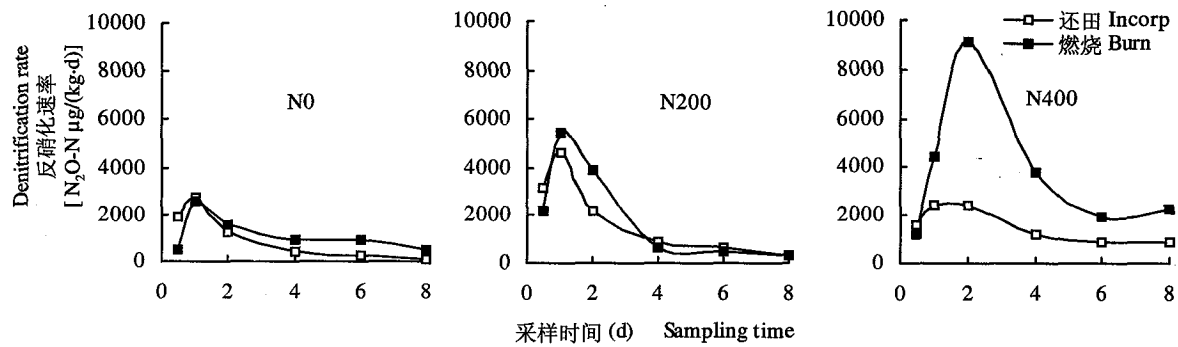
图1 稼秆还田对N₂O排放动态的影响Fig.1 Effect of stubble incorporation on N₂O flux

图2 稼秆还田对反硝化反应动态的影响

Fig.2 Effect of stubble incorporation on denitrification rate

通常当土壤水分低于70% WFPS时,N₂O主要来自硝化作用;高于70% WFPS时,则主要来自反硝化作用^[8-9]。本试验土壤培养的水分条件为85% WFPS,未充乙炔土壤所测得的N₂O排放量可认为由反硝化产生;乙炔处理和未充乙炔处理N₂O排放量之差则表示反硝化中N₂的生成量,从而可计算反硝化过程中N₂O/N₂。

经LSD检验,稼秆还田处理,施氮量为N 0、100、200、300 kg/hm²间无显著差异,N₂O/N₂的平均比例为0.033;施氮量为N 400 kg/hm²时比例显著增加,平均为0.070。稼秆燃烧处理,各施肥量间差异较大,最大比例出现在N0、N400施肥水平(表1)。还田和燃烧两种稼秆处理方式的共同规律可以看出,高氮肥施用量可促进N₂O/N₂比例提高。随氮肥用量的增加,土壤NO₃⁻含量升高(表2),NO₃⁻会抑制或延迟N₂O向N转化^[10],因此N₂O/N₂升高。还田和燃烧处理所有施肥量的阶段比例(图3),稼秆还田的低于燃烧处理,平均值还田处理为0.041,燃烧处理为0.085。

表1 稼秆还田对反硝化产物中N₂O/N₂的影响Table 1 Effect of stubble incorporation on N₂O/N₂ during denitrification

施氮量 N rate (kg/hm ²)	稼秆还田 Incorporation		稼秆燃烧 Burn	
	平均值	LSD	平均值	LSD
0	0.037	b	0.163	a
100	0.035	b	0.055	ab
200	0.030	b	0.022	b
300	0.032	b	0.048	b
400	0.070	a	0.136	ab

注:不同字母表示差异达0.05显著水平,下同。

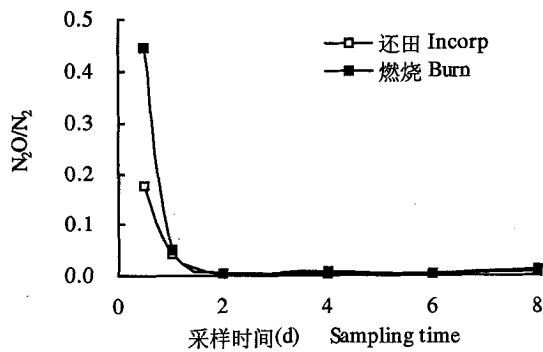
Note: Different letters indicate significant at 0.05 level, same as follows.

2.4 施肥和稼秆处理对土壤NO₃⁻-N、N₂O排放及反硝化损失的影响

试验表明,土壤NO₃⁻-N含量随施肥量的增加呈现增加趋势,且受稼秆处理方式的影响。除N200外,稼秆还田处理的NO₃⁻-N含量都低于燃烧处理,差异显著,原因可能是大量C/N比高的稼秆施入土壤后会固定部分氮^[11]。

表2 秸秆还田对土壤NO₃⁻-N、N₂O排放通量及反硝化速率的影响Table 2 Effect of stubble incorporation on soil NO₃⁻-N concentration, N₂O emission and denitrification rate under different fertilization rates

施氮量 N rate (kg/hm ²)	NO ₃ ⁻ -N (mg/kg)		N ₂ O排放通量 N ₂ O emission [μg/(kg·d)]			反硝化速率 Denitrification rate [μg/(kg·d)]		
	还田 Incorpor.	燃烧 Burn	还田 Incorpor.	燃烧 Burn	还田 Incorpor.	燃烧 Burn		
0	22.8 b	36.1 c	34.6 a	32.4 c	759.4 b	1046.5 c		
100	29.1 b	34.1 c	40.0 a	29.1 c	995.4 b	1127.1 c		
200	33.8 b	28.0 d	39.3 a	24.1 c	1440.5 ab	1568.4 bc		
300	36.7 b	50.2 b	45.4 a	58.7 b	2063.9 a	2063.3 b		
400	70.0 a	84.9 a	48.8 a	88.8 a	1362.3 ab	3531.3 a		

图3 秸秆还田对反硝化反应产物中N₂O/N₂的影响Fig.3 Effect of stubble incorporation on N₂O/N₂ during denitrification

N₂O的排放主要受氮肥施用($F = 10.46$)及其与秸秆处理交互作用的影响($F = 5.10$)。平均排放速率随氮肥用量的增加均呈增加趋势。但燃烧处理中,施氮量N 0~200 kg/hm²间无显著差异;而施氮量为N 300、400 kg/hm²时,N₂O的排放显著增加。还田处理N₂O的排放增加速率小于燃烧处理,且各施肥量间差异均未达显著水平。从表2可以看出,施氮量为N 0、100、200 kg/hm²时,N₂O排放速率燃烧处理小于秸秆还田,分别为32.4、29.1、24.1和34.6、40.0、39.3 μg/(kg·d);施氮量为N 300、400 kg/hm²时,燃烧处理显著大于还田处理,分别为58.7、88.8和45.4、48.8 μg/(kg·d)。

反硝化速率受到秸秆处理方式($F = 13.34$)、氮肥施用($F = 15.53$)及其交互作用($F = 7.57$)的显著影响。燃烧处理中反硝化速率随氮肥施用量的增加而增加;还田处理中,氮肥施用量小于N 300 kg/hm²时,随氮肥用量的增加而增加,N 400 kg/hm²时反硝化速率反而降低。施氮量为N 0~300 kg/hm²时,反硝化速率秸秆还田略小于燃烧处理,N 400 kg/hm²时,燃烧处理显著大于还田处理,分别为3531、1362

μg/(kg·d)(表2)。其原因可能是供氮量不同影响了秸秆腐解及腐解过程中化学物质的产生。本试验所用秸秆为玉米秸秆,其C/N比值约为35,高于土壤微生物活动适宜的C/N,加入土壤后会固定部分氮。受氮有效性的限制,低氮用量时降低反硝化速率;高氮施用量时,由于过高的NO₃⁻抑制了反硝化反应酶的活性;或因氮源供应充分,使有机物的分解及分解过程中某些抑制土壤反硝化作用的生物化感物质产生加快^[12],反硝化及N₂O排放明显受抑制。

回归分析表明,燃烧处理中,土壤NO₃⁻-N与培养期间N₂O平均排放通量和反硝化速率的关系可用线性方程表示,分别为:

$$Y_1 = 1.1686X - 7.9463, \quad R^2 = 0.9726;$$

$$Y_2 = 41.985X - 92.356, \quad R^2 = 0.8961.$$

还田处理中,土壤NO₃⁻-N与培养期间N₂O平均排放通量和反硝化速率的关系可用多项式表示,分别为:

$$Y_1 = -0.0103X^2 + 1.2531X + 11.342,$$

$$R^2 = 0.9083;$$

$$Y_2 = -2.0444X^2 + 205.83X - 3015.9,$$

$$R^2 = 0.8107.$$

式中X表示NO₃⁻-N含量(mg/kg),Y₁表示N₂O排放量,Y₂表示反硝化反应速率,单位均为[N₂O-N μg/(kg·d)]。

土壤反硝化反应是酶促反应,故与底物浓度即土壤NO₃⁻含量正相关。Mahmood等^[13]研究发现,玉米田的排放与反硝化速率和土壤NO₃⁻含量呈显著正相关,但与土壤温度和土壤NH₄⁺含量无关;然而,麦田N₂O排放与土壤NO₃⁻、NH₄⁺含量以及土壤温度有很强的相关关系,与反硝化速率无显著相关性。但Limmer等^[14]认为,当土壤中NO₃⁻的浓度超过25 mg/kg时,反硝化速率与NO₃⁻无关。本试验中不同

秸秆处理条件下,土壤 NO_3^- 与 N_2O 、反硝化关系表现不同,燃烧处理中呈线性相关,还田处理则表现为多项式关系。

3 结论

秸秆还田对土壤 C、N 循环的影响表现为:一方面由于供碳量的增加,可促进反硝化和 N_2O 排放量增加;另一方面则表现为高 C/N 的秸秆加入土壤后会进行氮的生物固定,降低反硝化氮损失;在秸秆分解过程中还可能产生化感物质,抑制反硝化。试验结果表明,与秸秆燃烧相比,低施氮量时,玉米秸秆还田可在培养后的短暂时间内刺激反硝化和 N_2O 排放,增加培养期间 N_2O 总排放量,但平均反应速率略有降低;高氮用量时,秸秆还田可显著降低 N_2O 总排放量和反硝化反应速率。

随着农业生产的发展,氮肥的用量越来越大,氮肥的损失也日趋严重,其中反硝化作用是氮损失的重要途径,可通过与秸秆合理配施降低氮肥的反硝化损失及 N_2O 排放。但秸秆施入土壤后与土壤的相互作用异常复杂,其在土壤中的分解、对反硝化反应的影响还与土壤的性质、秸秆 C/N 等特性有关,因此需进一步开展秸秆施入土壤后与土壤的相互作用机理及不同秸秆的还田试验研究。

参考文献:

- [1] 汤树德,王凤书. 秸秆还田的原理及应用[M]. 北京:北京农业大学出版社,1993.189-221.
Tang S D, Wang F S. Mechanism and application of straw addition [M]. Beijing: Beijing Agric Univ Press, 1993. 189-221.
- [2] 张电学,韩志卿,刘微,等. 不同促腐条件下玉米秸秆直接还田的生物学效应研究[J]. 植物营养与肥料学报,2005, 11(6):742-749.
Zhang D X, Han Z Q, Liu W et al. Biological effect of maize stalk return to field directly under different accretion decay conditions [J]. Plant Nutrition and Fertilizer Science, 2005, 11(6): 742-749.
- [3] 邹国元,张福锁,陈新平,等. 秸秆还田对旱地土壤反硝化的影响[J]. 中国农业科技导报,2001,3(6):47-50.
- [4] 蔡祖聪. 水分类型对土壤排放的温室气体组成和综合温室效应的影响[J]. 土壤学报,1999,36(4):484-491.
Cai Z C. Effects of water regime on CO_2 , CH_4 and N_2O emissions and overall potential for greenhouse effect caused by emitted gas [J]. Acta Pedological Sinica, 1999, 36(4): 484-491.
- [5] 曹兵,金雪霞,蔡贵信,等. 低量施氮对小青菜生长和氮素损失的影响[J]. 植物营养与肥料学报,2005,11(4):519-523.
Cao B, Jin X X, Cai G X et al. Effects of low rate nitrogen application on Brassica chinensis growth and N losses[J]. Plant Nutrition and Fertilizer Science, 2005, 11(4): 519-523.
- [6] Murray P J, Hatch D J, Dixon E R et al. Denitrification potential in grassland subsoil: Effect of carbon substrates [J]. Soil Biol. and Bioch., 1999, 36(4): 484-491.
- [7] Moiser A R. Acetylene inhibition of ammonium oxidation in soil[J]. Soil Biol. and Bioch., 1980, 12: 443.
- [8] Davidson E A, Matson P A, Vitousek P M et al. Processes regulating soil emissions of NO and N_2O in a seasonally dry tropical forest[J]. Ecology, 1993, 74: 130-139.
- [9] Bandibas J, Vermoesen A, Degroot C J et al. The effect of different moisture regimes and soil characteristics on nitrous oxide emission and consumption by different soils[J]. Soil Sci., 1994, 58: 106-114.
- [10] 封克,殷士学. 影响氧化亚氮形成与排放的土壤因素[J]. 土壤学进展,1995,23(6):35-42.
Fens K, Yin S X. Influence of soil properties on N_2O emissions from farmland[J]. Progress in Soil Sci., 1995, 23(6): 35-42.
- [11] Craswell E T. Some factors influencing denitrification and nitrogen immobilization in a clay soil [J]. Soil Biology and Biochemistry, 1978, 10: 241-245.
- [12] 黄益宗,张福珠,刘淑琴,等. 化感物质对土壤 N_2O 排放影响的研究[J]. 环境科学学报,1999,19(5):478-482.
Huang Y Z, Zhang F S, Liu S Q et al. Effect of chemical interaction material on N_2O emission[J]. J. of Ecology Sci., 1999, 19 (5): 478-482.
- [13] Mahmood T, Ali R, Malik K A, Shamsi S R A. Nitrous oxide emissions from an irrigated sandy-clay loam cropped to maize and wheat [J]. Biology and Fertility of Soils, 1998, 27(2): 189-196.
- [14] Limmer A W, Steele K W. Denitrification potentials: Measurement of seasonal variation using a short-term anaerobic incubation techniques. Soil Biology and Biochemistry, 1982, 14(3): 179-184.